

УДК 539.21 : 539.16.04

ВЛИЯНИЕ ДИСЛОКАЦИЙ НА ЛИНЕЙЧАТОЕ ИЗЛУЧЕНИЕ КАНАЛИРОВАННЫХ ЭЛЕКТРОНОВ В ЕСТЕСТВЕННЫХ МОНОКРИСТАЛЛАХ АЛМАЗА

В. А. Базылев, С. А. Михеев, А. В. Тулунов

Рассмотрено влияние дислокаций в естественных монокристаллах алмаза на линейчатый спектр излучения каналированных электронов. Развита теория возмущений, позволяющая описать изменение спектра излучения вследствие влияния дислокаций. По сравнению с совершенным кристаллом дислокации приводят к сдвигу и уширению уровней поперечной энергии электрона. Рассмотрена стационарная и нестационарная постановки задачи. Проведено сравнение с имеющимися экспериментальными данными. Продемонстрирована чувствительность линейчатых спектров излучения к плотности, размеру дислокаций и величине сдвига кристаллографических плоскостей. Обсуждается постановка эксперимента, позволяющая получать информацию о дислокациях из спектров излучения при каналировании.

Известно [1, 2], что более 98 % естественных монокристаллов алмаза принадлежат к типу Ia, характеризующемуся высокой концентрацией примеси атомов азота ($\sim 10^{25} - 10^{27} \text{ м}^{-3}$). Значительная часть содержащегося в кристаллической решетке азота объединена в крупные формирования — диски, которые ответственны за пик в ИК спектре поглощения. Дислокации этого типа исследовались методами рентгеновской дифракции и электронной микроскопии [3-6]. Было установлено, что диски расположены в плоскостях {100} элементарной ячейки, имеют размер 40—1000 Å (гигантские диски достигают величины 50 мкм) и распределены в решетке хаотически. В работах [7, 8] были предложены две различные модели встраивания дисков в решетку алмаза, причем величина сдвига плоскостей (100) оказывается различной: $a_0/3$ [7] и $0.4a_0$ [8], где a_0 — постоянная решетки. Экспериментальные измерения обнаруживают сдвиг величиной $0.33 - 0.362a_0$ [5, 6].

Однако существующие экспериментальные методы не дают исчерпывающей информации относительно плотности числа дислокаций, их размеров и величины сдвига. Разные методы могут приводить к отличающимся друг от друга величинам. Это стимулирует интерес к дальнейшим исследованиям дислокаций в монокристаллах алмаза.

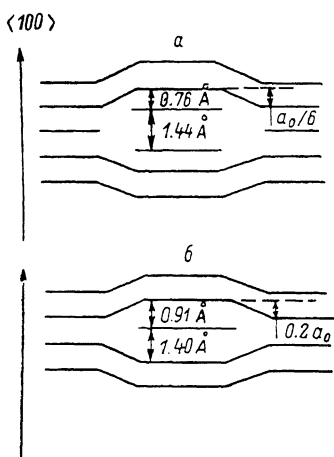
В работах [9, 10] было показано, что экспериментально регистрируемые линейчатые спектры излучения каналированных электронов в монокристаллах алмаза типа Ia и IIa имеют существенные различия в интенсивности, ширине и положении линий излучения. Следовательно, появляется принципиальная возможность исследования дислокаций по линейчатым спектрам. Подобная задача требует развития теории влияния дислокаций на спектр излучения.

В настоящей работе предложен метод учета влияния дислокаций на движение электронов вблизи осей и плоскостей монокристалла. В рамках теории возмущений показано, что дислокации приводят к сдвигу и уширению уровней поперечной энергии каналированных электронов и соответствующему изменению положения и ширины линий в спектре излучения. Проведены численные расчеты для плоскостного и осевого канали-

рования электронов при помощи методов, развитых в [11-14]. Показано, что из сравнения экспериментальных и рассчитанных величин можно получать информацию о размерах дисков, их площади, среднем расстоянии между ними и плотности числа дисков. Для этого необходимо одновременное измерение как положения, так и ширины линий излучения для плоскостного и осевого каналирования при двух-трех значениях энергии электронов.

1. Модель дислокации

В соответствии с моделями дислокаций [7, 8] появление диска приводит к сдвигу кристаллографических плоскостей на длине, равной размеру диска (см. рисунок). При этом в модели [7] дислокация представляет собой двойной диск, составленный из атомов азота, а в модели [8] — одиночный диск, составленный из атомов углерода. Поскольку плотность числа дисков, как правило, невелика (например, в монокристалле, используемом в [10], каналированный электрон сталкивается примерно с 25 дислокациями размером $\sim 100 \text{ \AA}$ на длине 12 мкм, т. е. суммарная длина дислокаций составляет $\sim 2\%$ от толщины кристалла), то естественно рассматривать дислокацию как возмущение, слегка изменяющее характер



движения частицы в непрерывном потенциале атомных плоскостей или осей монокристалла [15].

Далее, так как количество дисков по сравнению с числом изломленных плоскостей (осей) невелико (один диск приводит к сдвигу всех плоскостей (n, k, l)), влияние самого диска можно не учитывать и рассматривать в качестве возмущения потенциал плоскости, сдвинутой на фиксированное расстояние.

Модели дискообразных дислокаций (из [10]).

a — модель [7], двойные диски состоят из атомов азота; b — модель [8], диск состоит из атомов углерода.

Наконец, поскольку дислокации рассматриваемого типа имеют макроскопические размеры (наименьший размер порядка $40-50 \text{ \AA}$), т. е. значительно превосходят межатомное расстояние, аналогично постановке задачи о каналировании (см. [15]) можно ввести непрерывный потенциал дислокации, и возмущение тогда сводится к непрерывному потенциалу плоскости или оси, сдвинутому по сравнению с потенциалом, используемым при решении задачи в идеальном кристалле, на величину νa_0 , где ν — величина сдвига. Для плоскости (100) и оси $\langle 100 \rangle$ $\nu = 1/6$ в модели [7] и $\nu = 0.2$ в модели [8], для плоскости (110) $\nu = \nu_{100}/\sqrt{2}$.

В результате имеем следующую постановку задачи. Движение релятивистского электрона с энергией E описывается уравнением Клейна—Гордона (рассматриваем стационарную задачу)

$$\left(\frac{\hbar^2 \Delta}{2m} - U(\mathbf{r}) + \frac{E^2 - m_0^2 c^4}{2E} \right) \psi(\mathbf{r}) = 0, \quad (1)$$

где $m = m_0 \gamma$, $\gamma = E/m_0 c^2$, $\mathbf{r} = \{x, y, z\}$, $\rho = \{x, y\}$ с потенциалом $U(\mathbf{r}) = U_0(\rho) + \Delta U(\mathbf{r})$,

$$\Delta U(\mathbf{r}) = \Delta U_1(\rho) \sum_{z_d} [\eta(z - z_d) - \eta(z - z_0 - z_d)], \quad (2)$$

$\Delta U_1(\rho) = U_1(\rho) - U_0(\rho)$, $\eta(z) = 0$ при $z < 0$ и $\eta(z) = 1$ при $z \geq 0$; z_0 — размер диска; z_d — расстояние между дисками вдоль кристаллографической

оси; суммирование в (2) ведется по всем дискам вдоль направления движения электрона. Непрерывные потенциалы $U_0(\rho)$ и $U_1(\rho)$ вводятся следующим образом:

$$U_{0,1}(\rho) = d^{-1} \left\langle \int V_{0,1}(\mathbf{r}) dz \right\rangle_{\text{th}}, \quad (3)$$

$V_0(\mathbf{r})$ — потенциал атома оси; $V_1(\mathbf{r})$ — потенциал атомов дислокации; $\langle \dots \rangle_{\text{th}}$ означает усреднение по тепловым колебаниям атомов кристалла (см. [15]).

Формулы (2), (3) записаны для случая осевого каналирования. Для плоскостного каналирования имеем

$$U(\mathbf{r}) = U_0(x) + \Delta U(\mathbf{r}),$$

$$\Delta U(\mathbf{r}) = \Delta U_1(x) \sum_{\rho_d} [|\eta(|\rho - \rho_d|) - \eta(|\rho - \rho_d| - R_0)|]. \quad (4)$$

Здесь $\Delta U_1(x) = U_1(x) - U_0(x)$, R_0 — радиус диска, $\rho = \{y, z\}$,

$$U_{0,1}(x) = n \left\langle \int V_{0,1}(\mathbf{r}) dy dz \right\rangle_{\text{th}},$$

n — плотность атомов плоскости (дислокации).

2. Сдвиг и уширение уровней

Представляя волновую функцию электрона как

$$\psi(\mathbf{r}) = L^{-1/2} \exp(ip_{\parallel}z/\hbar) \psi_{\perp}(\rho),$$

где p_{\parallel} — продольный импульс электрона, приводим уравнение (1) к виду

$$\left[-\frac{\hbar^2 \Delta_{\perp}}{2m} + U_0(\rho) + \Delta U(\rho) \right] \psi_{\perp}(\rho) = E_{\perp} \psi_{\perp}(\rho), \quad (5)$$

где $\Delta_{\perp} = \partial^2/\partial x^2 + \partial^2/\partial y^2$; $E_{\perp} = (E^2 - c^2 p_{\parallel}^2 - m_0^2 c^4)/2E$ — поперечная энергия электрона. Для возмущения $\Delta U(\rho)$ получаем

$$\Delta U(\rho) = \frac{1}{L} \Delta U_1(\rho) \int dz dz_d f(z_d) \sum_{z_d} [\eta(z - z_d) - \eta(z - z_0 - z_d)] = \frac{N_d z_0}{L} \Delta U_1(\rho). \quad (6)$$

Здесь $f(z_d)$ — функция распределения дисков по положениям вдоль оси, N_d — число дисков на данной оси, L — толщина кристалла. Вводя среднее расстояние между дислокациями \bar{z}_d , получаем

$$\Delta U(\rho) = \frac{z_0}{\bar{z}_d} \Delta U_1(\rho). \quad (7)$$

Аналогично в плоскостном случае имеем

$$\Delta U(x) = n_{dp} S_d \Delta U_1(x), \quad (8)$$

где n_{dp} — плотность числа дисков в плоскости каналирования, S_d — площадь диска.

1) Сдвиг положения уровней. Критерием применимости стационарной теории возмущений является условие $\Delta U/U_0 \ll 1$, которое выполнено даже при $\Delta U_1 \sim U_0$, поскольку всегда $z_0 \ll \bar{z}_d$ ($n_{dp} S_d \ll 1$). Тогда для величины сдвига положения уровней поперечной энергии электрона $|i\rangle >$ получаем

$$\Delta E_{\perp i} = (\Delta U)_{ii}, \quad (9)$$

где $(\dots)_{ii} = \int \dots |\psi_{\perp i}^{\dagger}|^2 d\rho(dx)$, а ΔU дается (7) или (8).

2) Уширение уровней поперечной энергии. Рассмотрим для определенности случай осевого каналирования. Будем считать, что дислокации распределены в кристалле хаотически, что подтверждается экспериментальными измерениями [1]. Тогда рассеяние электрона

на разных дислокациях является некогерентным и, следовательно, полную ширину уровня Γ_i можно выразить через сечение рассеяния на одной дислокации. В результате для ширины уровня имеем выражение

$$\Gamma_i = \frac{2\pi}{\hbar} n_l \sum_F |\langle I | \Delta U(\mathbf{r}) | F \rangle|^2 \delta(\Delta E_{\perp}^{if} + \Delta E_{\parallel}) d\nu_F. \quad (10)$$

Здесь $\sum_F \dots d\nu_F = \sum_{j \neq i} \int \dots dp_{\parallel 2} (L/2\pi\hbar)$; $\psi_{\perp}^i(\rho)$, $\psi_{\perp}^f(\rho)$ — начальное и конечное состояния поперечного движения электрона с энергией E_{\perp}^i и E_{\perp}^f ($\Delta E_{\perp}^{if} = E_{\perp}^f - E_{\perp}^i$); $p_{\parallel 1}$, $p_{\parallel 2}$ — начальный и конечный продольный импульсы электрона; $\Delta E_{\parallel} = \sqrt{c^2 p_{\parallel 1}^2 - c^2 p_{\parallel 2}^2}$; $n_l = n_d S_0$ — линейная плотность дислокаций; n_d — объемная плотность дислокаций; S_0 — площадь, приходящаяся на одну ось,

$$|I\rangle = \frac{1}{\sqrt{L}} \exp\left[i \frac{p_{\parallel 1}}{\hbar} z\right] \psi_{\perp}^i(\rho).$$

Подставляя волновые функции $|I\rangle$, $|F\rangle$ и возмущение $\Delta U(\mathbf{r})$ в (10), получаем

$$\Gamma_i = \frac{n_l}{c\hbar^2} \sum_{j \neq i} |(\Delta U_1)_{ij}|^2 \frac{4 \sin^2(\Delta E_{\perp}^{if} z_0 / 2\hbar c)}{(\Delta E_{\perp}^{if} / \hbar c)^2}. \quad (11)$$

Оценим величину $\Delta E_{\perp}^{if} z_0 / \hbar c$. При $\Delta E_{\perp}^{if} \sim 5 \div 10$ эВ, что является типичной величиной для переходов между глубоколежащими уровнями в яме для осевого каналирования в диапазоне энергий электронов, в котором возможно наблюдение линейчатого излучения, получаем, что для дисков размером до 200 Å выполняется условие

$$\Delta E_{\perp}^{if} z_0 / \hbar c \ll 1. \quad (12)$$

Тогда последний множитель в (11) равен z_0^2 , и используя полноту набора поперечных волновых функций электрона, получаем формулу для ширины уровня

$$\Gamma_i = \frac{n_l z_0^2}{\hbar^2 c} |(\Delta U_1^2)_{ii} - (\Delta U_1)_{ii}^2|. \quad (13)$$

Для плоскостного каналирования имеем аналогичную формулу с заменами S_0 на d_p , $U(\rho)$ на $U(x)$, $\psi_{\perp}^i(\rho)$ на $\psi_{\perp}^i(x)$.

Для справедливости изложенной теории возмущений и, следовательно, формулы (13) необходимо, чтобы полная вероятность ухода с уровня в результате взаимодействия с одной дислокацией была существенно меньше единицы

$$\Gamma_i / n_l \sim \Delta U_1 z_0 / \hbar c \ll 1. \quad (14)$$

В принципе можно освободиться от этого требования, ограничившись лишь условием (12). Это условие означает мгновенность действия возмущения. Соответствующую формулу для вероятности перехода, которая уже может быть сравнима с единицей, можно получить в рамках нестационарной теории возмущений. Действительно, уравнение для \hat{S} -матрицы

$$i\hbar \frac{d\hat{S}}{dt} = \hat{W}(t) \hat{S}, \quad (15)$$

где

$$\begin{aligned} \hat{W}(t) &= \exp\left(\frac{i}{\hbar} H_0 t\right) \Delta U(\rho, t) \exp\left(-\frac{i}{\hbar} H_0 t\right), \quad H_0 = -\hbar^2 \Delta_{\perp} / 2m + U_0(\rho), \quad \Delta U(\rho, t) = \\ &= (U_1(\rho) - U_0(\rho)) (\eta(t) - \eta(t - t_0)), \end{aligned}$$

легко интегрируется, если использовать мгновенность действия возмущения $\Delta U(\rho, t)$ (12)

$$\hat{S} = \exp \left[-\frac{i}{\hbar} \int \Delta U(\rho, t) dt \right]. \quad (16)$$

В результате полная вероятность ухода с уровня вследствие рассеяния на одной дислокации будет равна

$$W_i = 1 - \left[\exp \left(-\frac{i}{\hbar c} \Delta U_{1z_0} \right) \right]_{ii}^2. \quad (17)$$

Полная ширина уровня тогда запишется в виде

$$\Gamma_i = n_i \left[1 - \left(\exp \left(-\frac{i}{\hbar c} \Delta U_{1z_0} \right) \right)_{ii} \right]^2. \quad (18)$$

Если выполняется неравенство (14) и справедлива теория возмущений при взаимодействии с одной дислокацией, то из (18) следует (13). Выражение (18) можно использовать для относительно крупных дислокаций, но при относительно высоких энергиях электрона, когда расстояние между уровнями становится достаточно малым и во всяком случае выполняется неравенство $\Delta E_{if} \ll \Delta U_1$.

3. Результаты расчетов. Сравнение с экспериментом

Численные расчеты величины сдвига и уширения уровней были проведены для случаев осевого и плоскостного каналирования при помощи изложенных в [11-14] методов нахождения волновых функций и уровней энергии каналированного электрона. Отметим, что для бездефектных кристаллов методы [11-14] позволяют получить согласие с экспериментальными значениями положения линий излучения в пределах 1-3%. В этих же пределах будет находиться точность расчетных значений сдвига и уширения уровней в кристаллах с дислокациями.

В нулевом приближении использовалась аппроксимация Дойля-Тернера потенциала Хартри-Фока. Дислокации считались составленными из атомов углерода; как выше отмечалось, это соответствует модели дисков [8]. Если же принять модель [7], то и в этом случае можно не учитывать вклад в потенциал U_1 от двойных дисков из атомов азота (см. раздел 1).

1) Сдвиг положения уровней. Для плоскостного каналирования электронов нахождение поперечных волновых функций сводится к решению матричной задачи на собственные значения [11]. При этом волновые функции представлены в виде Фурье-разложений

$$\psi_i^{\pm}(x) = d_p^{-1/2} \sum_m C_m^{\pm} \exp [i(k_{\perp} - mg)x], \quad (19)$$

где d_p — расстояние между плоскостями, g — вектор одномерной обратной решетки, k_{\perp} — поперечный квазиимпульс электрона, i — номер уровня. Раскладывая тогда непрерывный потенциал сдвинутых вследствие наличия дислокаций плоскостей по векторам обратной решетки

$$U_1(x) = \sum_l U_l \cos lg(x \pm \nu a_0), \quad (20)$$

из (9) получаем выражение для величины сдвига уровней

$$\Delta E_i^{\pm} = n_{dp} S_d \sum_{m, n} C_m^{\pm} C_n^{\pm} U_{m-n} [\cos((m-n)g\nu a_0) - 1], \quad (21)$$

где U_{m-n} — коэффициент разложения потенциала в ряд Фурье

$$U_k = \frac{2\pi\hbar^2}{m_0} N f_e \left(\frac{kg}{4\pi} \right) \exp \left(-\frac{1}{2} (kgu_1)^2 \right). \quad (22)$$

Здесь N — плотность атомов в кристалле, u_1 — амплитуда тепловых колебаний атомов. Амплитуды рассеяния $f_c(s)$ приведены в работе [16]. В случае значительного зонного уширения величину ΔE_1^i необходимо усреднить по квазимпульсам. Отметим, что, естественно, (21) не зависит от направления сдвига плоскостей кристалла.

В работах [9, 10] были выполнены измерения сдвига в положении линий излучения электронов с энергией 30.5 и 54.5 МэВ, каналированных плоскостями (100) монокристаллов алмаза типа Ia и IIa. Эти результаты позволяют провести сравнение развитой теории с экспериментом. Однако в [9, 10] не приведено полных данных об использованном монокристалле алмаза типа Ia, а постановка эксперимента была методически незавершенной. Требуемая для исследования дислокаций в алмазе постановка будет обсуждаться ниже.

Таблица 1

Произведения плотности числа дисков в плоскости (100) на площадь диска

E, МэВ	Переход	$n_{dp}S_d$	
		$\nu = 1/6$	$\nu = 0.2$
30.5	1—0	$(3.48 \pm 1.43) \cdot 10^{-2}$	$(5.46 \pm 2.51) \cdot 10^{-2}$
54.5	1—0	$(7.08 \pm 0.75) \cdot 10^{-2}$	$(8.80 \pm 0.92) \cdot 10^{-2}$
54.5	2—1	$1.79 \cdot 10^{-2}$	$5.03 \cdot 10^{-2}$

В табл. 1 приведены величины произведения плотности числа дислокаций в плоскости (100) на площадь дислокации $n_{dp}S_d = (\Delta \hbar \omega)_{\text{exp}} / 2\gamma^2 (\Delta U_1)_{i;2}$, рассчитанные для двух моделей дислокаций [7, 8]. Величина ошибки в определении $n_{dp}S_d$ обусловлена ошибкой эксперимента. Для линии излучения, отвечающей переходу 2—1 при энергии электронов 54.5 МэВ, приводится приближенное значение, поскольку положение этой линии для монокристалла алмаза типа Ia измерено в [10] также приближенно. Из табл. 1 видно, что величины $n_{dp}S_d$ в пределах ошибки для одного и того же перехода при разной энергии электрона совпадают в случае модели дислокаций [8]. Отсюда следует, что она ближе к реальной ситуации, чем модель [7]. Если использовать размеры дисков, приведенные в [10] 40—200 Å, то из табл. 1 для плотности числа дислокаций в плоскости имеем $n_{dp} = 2.27 \cdot 10^{10} \div 5.68 \cdot 10^{11} \text{ см}^{-2}$. В то же время, считая, что среднее расстояние между дисками $\bar{z}_d = 500 \text{ Å}$ [10], для n_{dp} получаем $n_{dp} = 2.78 \cdot 10^{10} \text{ см}^{-2}$. Сравнение двух значений n_{dp} показывает, что большинство дисков имеет диаметр $\sim 200 \text{ Å}$. Более определенные выводы можно сделать при специальной постановке эксперимента.

Для электронов с энергией 30.5 МэВ, каналированных плоскостями (110) монокристалла алмаза типа Ia, отдельные линии излучения не наблюдались. Это объясняется двумя обстоятельствами. Во-первых, потенциальная яма каналирования для плоскостей (110) вдвое глубже, чем для плоскостей (100), и, следовательно, число уровней в яме при той же энергии электрона вдвое больше, а линий излучения втрое больше, чем для плоскостей (100). Сдвиг и уширение уровней приводят тогда к переналожению линий излучения и образованию общего широкого подъема в спектре излучения. Во-вторых, плотность числа дислокаций вдвое выше для плоскостей (110), поскольку к излому плоскостей приводят диски, расположенные как в плоскости (010), так и в плоскости (100). В результате вдвое возрастает сдвиг и уширение уровней, что также способствует размыванию линий. Таким образом, для наблюдения отдельных линий в спектре излучения электронов, каналированных плоскостями (110) алмаза типа Ia, необходимо использование меньшей энергии электронов $\sim 10 \div 15 \text{ МэВ}$.

Для расчета волновых функций при осевом каналировании электронов эффективным оказывается формализм псевдопотенциала [13, 14], в котором глубоколежащие уровни поперечной энергии не имеют зонного уширения. Поэтому при определении сдвига в положении уровней отсутствует необходимость в усреднении по поперечному квазимпульсу электрона, которое может вносить некоторую расчетную неточность при нахождении центра линии излучения.

Измерений сдвига в положении линий излучения для осевого каналирования электронов в монокристаллах алмаза типа Ia и IIa не производилось. Поэтому здесь мы приведем лишь расчетные значения ΔE_{\perp}^i ($z_0=40$, $\bar{z}_d=500 \text{ \AA}$) для демонстрации возможности наблюдения влияния дислока-

Таблица 2
Сдвиг уровней поперечной энергии электронов
при движении вдоль оси $\langle 100 \rangle$

E, МэВ	Уровень	E_{\perp}^i , эВ	ΔE_{\perp}^i , эВ	
			$\nu = 1/5$	$\nu = 0.2$
5	1s	-41.4	-1.23	-1.30
	2p	-17.0	-0.47	-0.56
16.9	1s	-57.8	-1.63	-1.70
	2p	-34.6	-1.10	-1.17
	2s	-24.0	-0.69	-0.77
	3d	-19.5	-0.60	-0.68
	3p	-16.3	-0.41	-0.50
30.5	1s	-64.9	-1.78	-1.84
	2p	-44.4	-1.37	-1.44
	2s	-32.1	-0.96	-1.05
	3d	-28.6	-0.93	-1.01
	3p	-23.7	-0.67	-0.77

ций на положение линий. В табл. 2 даны собственные значения поперечной энергии электрона E_{\perp}^i и величины сдвига уровней для моделей дислокаций [7, 8] при движении частиц разной энергии вдоль оси $\langle 100 \rangle$. Как следует из табл. 2, модели [7, 8] приводят к отличающимся значениям сдвига уровней, что свидетельствует о чувствительности положения линий в спектре излучения к структуре дислокаций. Величина сдвига линии составляет, например, для линии 2p-1s при $E=30.5 \text{ МэВ}$ $\Delta \hbar \omega = 3.02 \text{ кэВ}$, т. е. легко регистрируется в эксперименте. В случае дисков большей величины, естественно, сдвиг уровней также будет больше.

2) У ш и р е н и е у р о в н е й. При плоскостном каналировании электронов наличие дислокаций приводит как к переходам между уровнями поперечной энергии, так и к расплыванию пучка в плоскости каналирования. Последний фактор также дает уширение линии излучения. Величину этого уширения для каждого уровня трудно точно рассчитать, а можно получить лишь среднюю по всем уровням величину (см. [12]). В связи с этим оказывается затруднительным извлекать информацию о дислокациях из сопоставления расчетных и наблюдаемых ширин линий излучения при плоскостном каналировании.

Напротив, в случае осевого каналирования электронов ширину уровня практически полностью определяет ядерное рассеяние, вклад которого может быть рассчитан с достаточно высокой точностью (порядка 2-3 %) [14]. При наличии дислокаций ширина уровня будет складываться из столкновительной и дислокационной ширины, тогда из сравнения ширин линий в монокристаллах алмаза типа Ia и IIa можно получить дислокационную ширину и, сопоставляя ее с расчетной величиной, извлекать информацию о плотности числа дисков и их размерах.

В табл. 3 приведены результаты расчета для ядерной Γ_n и дислокационной Γ_d ширины уровней при каналировании электронов вдоль оси $\langle 100 \rangle$ монокристалла алмаза (считалось, что все оси изломаны, а линейная плотность числа дислокаций $2.08 \cdot 10^4 \text{ см}^{-1}$, $z_0 = 40 \text{ \AA}$ [10]). Как видно из табл. 3, дислокационная ширина уровня составляет 30—50 % от ядерной и, следовательно, легко регистрируется в эксперименте. В то же время различия моделей дислокаций [7] и [8] приводят к незначительному отличию в значениях Γ_d , т. е. для их экспериментального обнаружения необходимо высокоточное выполнение измерений.

Таблица 3

Ядерная и дислокационная ширины уровней при осевом каналировании электронов

E, МэВ	Уровень	Γ_n , эВ	Γ_d , эВ	
			$\nu = 1/6$	$\nu = 0.2$
5	1s	0.41	0.24	0.24
	2p	0.25	0.061	0.064
16.9	1s	0.47	0.36	0.37
	2p	0.38	0.16	0.19
	2s	0.24	0.10	0.11
	3d	0.23	0.069	0.074
	3p	0.27	0.066	0.068
30.5	1s	0.45	0.41	0.42
	2p	0.47	0.27	0.27
	2s	0.28	0.16	0.17
	3d	0.32	0.14	0.14
	3p	0.25	0.10	0.11

Обсудим постановку эксперимента по наблюдению линейчатого излучения каналированных электронов, которая могла бы способствовать получению информации о дислокациях рассмотренного типа. Для этого необходимо регистрировать спектры излучения электронов на одном и том же монокристалле типа Ia с одновременным измерением ширины и положения линий излучения при двух-трех значениях энергии электрона из диапазона 5—50 МэВ. При больших энергиях частиц перестают выполняться условия устойчивого каналирования [14, 17]. Измерения следует осуществлять как в условиях плоскостного, так и осевого каналирования. Аналогичный эксперимент должен быть выполнен с монокристаллом алмаза типа IIa, причем в процессе замены кристалла необходимо не допускать изменения энергии электронов и положения спектрометра. В этом случае можно надеяться на получение дополнительной информации о дислокациях в алмазе по сравнению с другими методами.

Л и т е р а т у р а

- [1] Evans T. Contemp. Phys., 1976, vol. 17, N 1, p. 45—70.
- [2] Evans T., Maguire J. J. Phys. C, 1981, vol. C14, N 12, p. L374—L384.
- [3] Evans T., Phaal C. Proc. Roy. Soc. London, 1962, vol. A270, N 1343, p. 106—124.
- [4] Fearick R. W., Sellschop J. P. F. Nucl. Instrum. Meth., 1980, vol. 168, N 1—3, p. 195—202.
- [5] Bursill L. A., Hutchison J. L., Sumida N., Lang A. R. Nature, 1981, vol. 292, N 5823, p. 518—520.
- [6] Barry J. C., Bursill L. A., Hutchison J. L. Phyl. Magazine A, 1983, vol. 48, N 1, p. 109—121.
- [7] Lang A. R. Proc. Phys. Soc. London, 1964, vol. 84, N 6, p. 871—876.
- [8] Humple P. Proc. Roy. Soc. London, 1982, vol. A381, N 1780, p. 65—81.
- [9] Park H., Pantell R. H., Swent R. L. et al. J. Appl. Phys., 1984, vol. 55, N 2, p. 358—364.

- [10] *Park H., Kephart J. O., Klein R. K. et al. J. Appl. Phys., 1985, vol. 57, N 5, p. 1661—1664.*
- [11] *Тулупов А. В. ЖЭТФ, 1981, т. 81, № 5, с. 1639—1648.*
- [12] *Тулупов А. В. ЖЭТФ, 1984, т. 86, № 4, с. 1365—1375.*
- [13] *Михеев С. А., Тулупов А. В. ФТТ, 1985, т. 27, № 5, с. 1307—1313.*
- [14] *Михеев С. А., Тулупов А. В. ФТТ, 1986, т. 28, № 8, с. 2447—2454.*
- [15] *Базылев В. А., Жеваго Н. К. Излучение быстрых частиц в веществе и во внешних полях. М.: Наука, 1987, гл. 6.*
- [16] *Doyle P. A., Ternner P. S. Acta Cryst., 1968, vol. A24, N 3, p. 390—397.*
- [17] *Базылев В. А., Глебов В. И., Головизнин В. В. ДАН СССР, 1986, т. 288, № 1, с. 105—107.*

Поступило в Редакцию
15 марта 1988 г.
